

کنترل هوشمند غیرخطی مرتبه کسری برای اینورترهای فتوولتائیک

هادی دلاوری و سارا ارجمندپور

ویژگی‌های آن است. گرایش فزاینده صنعت برق به استفاده از سیستم‌های فتوولتائیک به پژوهش‌های گسترده‌ای در این حوزه منجر شده است. در مواجهه با سیستم‌های فتوولتائیک، تغییر شرایط جوی و سایه جزئی شرایط چالش‌برانگیزی هستند و منجر به تولید توان کمتری می‌شوند؛ به همین سبب نیاز است سیستم‌های فتوولتائیک به گونه‌ای کنترل شوند که همواره بتوانند در نقطه حداقل توان خود تحت شرایط جوی مختلف کار کنند. از این رو در مقالات مختلف از تکنیک‌های متفاوتی برای رسیدن به نقطه حداقل توان استفاده گردیده است. در [۱] از یک کنترل کننده غیرخطی مرتبه کسری بهینه‌شده برای ریدیابی نقطه حداقل توان استفاده گردیده است. در [۲] بر پایه وجود رابطه بین شدت تابش و ولتاژ نقطه حداقل توان، روشی بهمنظر ریدیابی حداقل توان در صفحات خورشیدی بر پایه منطق فازی ارائه شده است. در [۳] یک کنترل کننده غیرخطی مد لغزشی برای بهره‌برداری مولد فتوولتائیک در نقطه حداقل توان تولیدی ارائه شده است. سطح لغزش به صورت مشتق توان نسبت به ولتاژ تعريف گردیده و سیگنال کنترلی اعمالی به سیستم با توجه به سطح لغزش انتخاب شده، استخراج گردیده است. برای دستیابی به نقطه حداقل توان الگوریتم‌های متفاوتی وجود دارند؛ مانند الگوریتم تپه‌نوردن^۴ (HIL)، الگوریتم اختلال و مشاهده^۵ (P&O) [۴]، الگوریتم هدایت افزایشی^۶ (INC) [۵] و الگوریتم‌های هوشمند. این الگوریتم‌ها سطوح مختلفی از سادگی، سرعت همگرایی و پیاده‌سازی سخت‌افزاری را دارند. در [۶] از روش کنترل غیرخطی مرتبه کسری غیرمستقیم فازی برای ریدیابی نقطه حداقل توان استفاده شده است. در [۷] یک روش جدید برای دنبال کردن نقطه بیشینه توان معرفی شده که بر پایه روش هدایت افزایشی (یکی از روش‌های پایه و اولیه) و روش گرادیان کاوشی است.

حسابان کسری در سال‌های اخیر به یکی از مسائل مورد تحقیق در زمینه مهندسی کنترل تبدیل گردیده که از آن برای مدل‌سازی سیستم فتوولتائیک نیز استفاده شده است. در طبیعت بیشتر مدل‌های فیزیکی ذاتاً با استفاده از تئوری حسابان کسری بهتر و دقیق‌تر مدل‌سازی و توصیف می‌شوند. مقالات گوناگونی از حسابان کسری در طراحی کنترل کننده‌های مختلفی همچون کنترل کننده PID مرتبه کسری^۷ (FOPID)^۸، کنترل کننده فازی مرتبه کسری^۹ (FOFLC)^۹ و کنترل مد لغزشی مرتبه کسری^۹ (FSMC)^{۱۰} برای کنترل سیستم‌های فتوولتائیک، توربین بادی و ... استفاده نموده‌اند. همچنین با توجه به وجود اغتشاشات خارجی و عدم قطعیت‌های سیستم در بسیاری از مسائل کاربردی، بهتر

چکیده: در زمان حاضر با رشد چشم‌گیر مصرف انرژی، افزایش گازهای گلخانه‌ای و آلاینده‌های محیطی، انرژی‌های تجدیدپذیر بیشتر مورد توجه و اقبال عمومی قرار گرفته‌اند. این انرژی‌ها شامل انرژی بادی، انرژی فتوولتائیک و ... می‌شوند. از برتری‌های انرژی فتوولتائیک می‌توان به گستردگی و دسترسی ساده، کمک به حفظ محیط زیست، تطبیق‌پذیری با شبکه‌های قدرت توزیع شده، کم‌صداپودن، راهاندازی سریع و ... اشاره کرد. یکی از مهم‌ترین چالش‌ها در مواجهه با سیستم‌های فتوولتائیک، تغییر شرایط اقلیمی (تغییرات دما، تايش و ...) و تغییر پارامترهای سیستم است که بر عملکرد سیستم تأثیر می‌گذارند. در این مقاله برای رفع این مشکلات و همچنین به منظور ریدیابی نقطه حداقل توان در یک سیستم خورشیدی، یک کنترل کننده مد لغزشی مرتبه کسری فازی مبتنی بر رؤیت‌گر اغتشاش و تخمینگر نامعینی با استفاده از شبکه عصبی طراحی شده است. شبکه عصبی برای تخمین نامعینی‌های سیستم، بلوک فازی برای تخمین ضربی تابع علامت در قانون کنترل، حسابان کسری برای کاهش چتربنگ و رؤیت‌گر اغتشاش برای تقریب اغتشاشات سیستم استفاده شده‌اند. همچنین پایداری روش کنترلی پیشنهادی با استفاده از روش لیاپانوف به اثبات رسیده است. نتایج شبیه‌سازی نیز کارایی روش پیشنهادی را تأیید می‌کنند و عملکرد رضایت‌بخشی را نشان می‌دهند.

کلیدواژه: تخمینگر شبکه عصبی، ریدیابی نقطه حداقل توان، رؤیت‌گر اغتشاش، کنترل مد لغزشی مرتبه کسری، کنترل فازی.

۱- مقدمه

پیشرفت پرستاب علم و صنعت و در معرض خطر قرار گرفتن محیط زیست به علت افزایش بیش از حد آلاینده‌ها و گازهای گلخانه‌ای، بشر را واداشته که در جهت مرتفع نمودن مشکلات فوق، تلاش‌های وافری را در زمینه دستیابی به منابع جدید به کار بندد. از جمله می‌توان استفاده از انرژی خورشید، باد، زمین‌گرمایی^۱، موج، زیست‌توده^۲ و ... را نام برد که از نظر اقتصادی مقرون به صرفه بوده و با محیط زیست نیز سازگاری بهتری دارند. در سالیان اخیر، انرژی فتوولتائیک^۳ (PV) نسبت به سایر انرژی‌های تجدیدپذیر بیشتر مورد توجه و اقبال عمومی قرار گرفته است؛ چرا که انرژی خورشید تمام‌نشدنی است. همچنین گستردگی، دسترسی آسان، کم‌صداپودن، تطبیق با شبکه‌های قدرت توزیع شده، حفظ محیط زیست، راهاندازی سریع و قیمت تمام‌شده پایین‌تر نسبت به سایر انرژی‌ها از دیگر بازنگری شد.

هادی دلاوری (نویسنده مسئول)، دانشکده مهندسی برق و کامپیوتر، دانشگاه صنعتی همدان، همدان، ایران، (email: delavari@hut.ac.ir).
سارا ارجمندپور، دانشکده مهندسی برق و کامپیوتر، دانشگاه صنعتی همدان، همدان، ایران، (email: s.arjmend@stu.hut.ac.ir).

- 4. Hill-Climbing
- 5. Perturb & Observe
- 6. Incremental Conductance
- 7. Fractional Order PID
- 8. Fractional Order Fuzzy Logic Control
- 9. Fractional Sliding Mode Control

- 1. Geothermal
- 2. Biomass
- 3. Photovoltaic

مسکونی هوشمند (خورشیدی+بادی) ارائه می‌کند. کنترل کننده‌های تناسبی-انتگرالی/تناسبی-انتگرالی-مشتقی با مرتبه کسری بر روی یک قاب سنکرون برای یک مبدل منبع ولتاژ سه‌فاز مبتنی بر مدولاسیون عرض پالس در سیستم پنل خورشیدی و توربین‌های بادی مجتمع مسکونی (ساختمان) در این مقاله پیشنهاد شده است. در [۲۲] به جای استفاده از مبدل تقویت‌کننده معمولی، از مبدل تقویت‌کننده سه‌سطحی استفاده شده است. با این حال، معمولاً مبدل تقویت‌کننده معمولی در سیستم‌های فتوولتائیک به عنوان رابط بین پنل فتوولتائیک و مصرف‌کننده استفاده می‌شود. مبدل تقویت‌کننده سه‌سطحی، وزن و هزینه کمتری نسبت به مبدل تقویت‌کننده معمولی دارد. علاوه بر این، هدف اصلی این مقاله کاهش وزن سیستم و استفاده از مبدل تقویت‌کننده سه‌سطحی با دریابی نقطه حداکثر توان برای کنترل توان خروجی بدون نوسان است. نتایج شبیه‌سازی در Matlab دقت و عملکرد سیستم را نشان می‌دهد. در [۲۳] یک جبران کننده جدید تناسبی-انتگرالی-مشتقی با مرتبه کسری تطبیقی با مرتبه کسری خودتنظیم برای استخراج حداکثر توان از یک سیستم فتوولتائیک مستقل با تغییر شرایط محیطی پیشنهاد شده و در آن، ولتاژ مرجع با استفاده از یک شبکه عصبی پیش خور تولید می‌گردد. مقاله [۲۴] مرواری بر مبدل‌های DC-DC غیرایزووله تقویت‌کننده‌های ولتاژ ارائه می‌کند. جزئیات بررسی مربوط در مورد تپولولوژی مبدل‌ها از جمله تقویت، تقویت هیبریدی، تقویت سه‌سطحی، تقویت‌کننده چندسطحی و مبدل‌های ترکیبی سه سطح که بیشتر در سیستم‌های فتوولتائیک استفاده می‌شوند، ارائه شده است. نهایتاً چندین تقویت‌کننده سطح ولتاژ نیز وجود دارند که می‌توانند جایگزین مبدل‌های ارائه شده در سیستم‌های فتوولتائیک شوند. چالش دیگری که در سیستم فتوولتائیک وجود دارد، اختشاش موجود در سیستم است که دامنه نامشخصی دارد و نمی‌توان آن را برای سیستم‌های واقعی اندازه‌گیری کرد [۲۵] و [۲۶]; بنابراین نیاز به یک رؤیتگر وجود دارد که بتواند اختشاش را تخمین بزند. در این مقاله از یک رؤیتگر اغتشاش برای این منظور بهره گرفته شده است. برخی از نوادری‌ها و مزایای این مقاله شامل موارد زیر است:

- تعریف یک سطح لغزش مرتبه کسری جدید
- تخمین نامعینی‌های سیستم فتوولتائیک با استفاده از شبکه عصبی
- تخمین اختشاشات سیستم فتوولتائیک با استفاده از رؤیتگر اختشاش
- اثبات پایداری سیستم حلقه بسته با درنظر گرفتن همزمان رؤیتگر اختشاش، تخمینگر شبکه عصبی جهت تخمین نامعینی و منطق فازی با استفاده از تئوری لیاپانوف
- حذف چترینگ با استفاده از سطح لغزش مرتبه کسری و منطق فازی
- افزایش قوام سیستم در مقابله با نامعینی‌ها و اختشاشات و تغییر پارامترهای سیستم فتوولتائیک

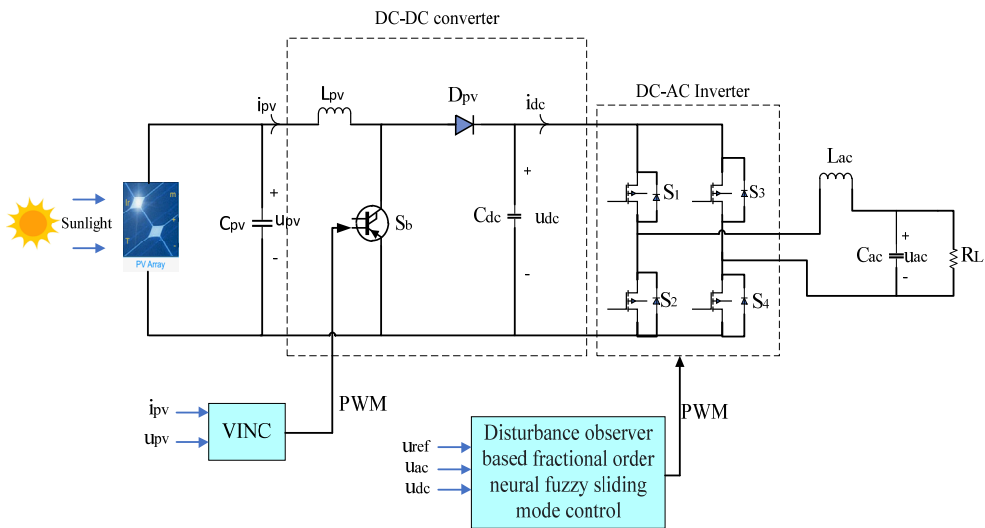
در بخش ۲ این مقاله به معرفی مدل سیستم فتوولتائیک پرداخته می‌شود و در بخش ۳ الگوریتم INC با گام متغیر به منظور دریابی نقطه حداکثر توان برای مبدل DC-DC طراحی می‌گردد. در بخش ۴ به طراحی روش کنترلی پیشنهادی یعنی طراحی کنترل کننده مد لغزشی مرتبه کسری فازی مبتنی بر رؤیتگر اختشاش و تخمینگر شبکه عصبی برای اینورتورهای فتوولتائیک پرداخته می‌شود و پایداری کنترل کننده پیشنهادی با روش لیاپانوف به اثبات می‌رسد. در بخش ۵ خروجی‌های شبیه‌سازی روش پیشنهادی ارائه می‌شوند و شاخص عملکرد روش پیشنهادی با سایر روش‌های کنترلی مقایسه می‌گردد. نهایتاً در بخش ۶ به نتیجه‌گیری و جمع‌بندی نهایی پرداخته خواهد شد.

است که کنترل کننده‌های مقاوم طراحی و اعمال شوند. کنترل مد لغزشی، ابزاری قدرتمند برای کنترل مقاوم سیستم‌ها است [۱۱] و به دلیل طراحی ساده و مقاوم بودن آن در برابر عدم قطعیت‌ها و اختشاشات خارجی، توجه زیادی را در میان کنترل کننده‌های غیرخطی به خود جلب کرده و در مقالات گوناگون به طور گسترده بررسی شده است [۱۲].

یکی از نواقص کنترل کننده‌های مد لغزشی، پیدیده لرزش سیگنال (چترینگ^۱) است که برای رفع این مشکل می‌توان آن را با حسابان کسری ترکیب کرد. این استراتژی کنترلی، مزایایی هر دو کنترل کننده مرتبه کسری و کنترل کننده مد لغزشی را دارد. ایده‌ای که در استفاده از کنترل مد لغزشی مرتبه کسری وجود دارد، استفاده از سطح لغزش مرتبه کسری به جای سطح لغزش سنتی مرتبه صحیح است که نهایتاً عملکرد بهتر و پایداری بیشتری را در مقایسه با روش‌های سنتی کنترل مد لغزشی ایجاد می‌کند [۱۳] تا [۱۵].

همچنین در این مقاله برای بهبود عملکرد سیستم از یک شبکه عصبی تابع پایه شعاعی^۲ (RBF) و کنترل کننده فازی برای کنترل سیستم فتوولتائیک بهره گرفته شده که شبکه عصبی، توانایی تخمین نامعینی‌ها را دارد [۱۶] و بلوک فازی هم برای تخمین ضریب تابع علامت^۳ موجود در قانون کنترل به کار رفته است. بدليل آنکه اگر این ضریب به درستی تعیین نشود می‌تواند باعث افزایش چترینگ سیستم شود، نیاز است که با نزدیک شدن به سطح لغزش این ضریب کوچک باشد و با فاصله گرفتن از سطح لغزش این ضریب بزرگ باشد تا حالت‌های سیستم، سریع به سطح لغزش برسند و سرعت همگرامی بالا بروند. بنابراین نمی‌توان یک عدد ثابت را برای ضریب تابع علامت در نظر گرفت و بهتر است یک سیستم هوشمند بر اساس میزان فاصله با سطح لغزش آن را تعیین کند [۱۷]. در [۱۸]، روش درون‌یابی ریاضی ترکیب شده با الگوریتم ریدیابی حداکثر توان کلاسیک برای سیستم فتوولتائیک اعمال می‌شود و دریابی راندمان بالا با استفاده از ساختار سیستم ساده حاصل می‌گردد که برای توسعه سیستم فتوولتائیک و نیز ریدیابی توان از اهمیت زیادی برخوردار است. در [۱۹]، یک الگوریتم یادگیری تقویتی عمیق مبتنی بر بهینه‌سازی قاصدک جدید برای ریدیابی نقطه حداکثر توان سیستم‌های فتوولتائیک متصل به شبکه پیشنهاد شده و روش پیشنهادی را برای یک نیروگاه فتوولتائیک ۱۰۰ مگاواتی متصل به یک سیستم توزیع ۳۳ کیلوولت اریزابی می‌کند. تکنیک یادگیری تقویتی عمیق پیشنهادی از الگوریتم‌های بهینه‌سازی خط مشی پروگزیمال (PPO) و گرادیان خط مشی قطعی (DDPG) برای حالات پیوسته و فضاهای عمل گستته یا پیوسته استفاده می‌کند. ریدیابی نقطه حداکثر توان به روش اختلال و مشاهده بدليل سادگی و قابلیت اطمینان، گسترده در سیستم‌های فتوولتائیک استفاده می‌شود. برای بهینه‌سازی عملکرد باید بین راندمان استاتیک و دینامیکی تعادل ایجاد شود. در [۲۰]، یک مدل تحلیلی بر اساس اصول عملیات برای ارائه ویژگی‌های واضح شاخص‌های کلیدی (مثلاً راندمان استاتیکی و دینامیکی و نیاز محدوده ولتاژ DC)، ایجاد و تأثیر پارامترها بر بازده آشکار می‌شود. متعاقباً یک طراحی قوی برای طراحی بهینه پیشنهاد می‌گردد که می‌تواند پارامترهای کلیدی را تنظیم کند و به دقت ریدیابی نسبتاً بالایی دست یابد. مرجع [۲۱] یک سیستم کنترل ولتاژ را با استفاده از اپراتورهای مرتبه کسری در نیروگاه برق تجدیدپذیر هیبریدی یکپارچه

1. Chattering
2. Radial Basis Function
3. Sign



شکل ۱: دیاگرام روش کنترلی پیشنهادی روی سیستم فتوولتائیک.

$$\begin{aligned} \frac{du_{ac}}{dt} &= -\left(\frac{1}{R_L C_{ac}} + \Delta_v\right) \frac{du_{ac}}{dt} - \left(\frac{1}{L_{ac} C_{ac}} + \Delta_r\right) u_{ac} + \\ &\quad \left(\frac{2D-1}{L_{ac} C_{ac}} + \Delta_r\right) u_{dc} + g(t) \end{aligned} \quad (7)$$

که Δ_v و Δ_r پارامترهای متغیر، Δ_r عدم قطعیت ناشی از u_{dc} و $g(t)$ نامعینی سیستم است. $d(t)$ به صورت (۸) تعریف می‌شود

$$d(t) = -\Delta_v \frac{du_{ac}}{dt} - \Delta_r u_{ac} - \Delta_r u_{dc} \quad (8)$$

برای قسمت شبیه‌سازی نامعینی نیز به صورت (۹) در نظر گرفته می‌شود

$$g(t) = \gamma(u_{ac} - u_{ref}) + \cos(100\pi t) \quad (9)$$

با بازنویسی (۶)، (۱۰) حاصل می‌شود که توصیف کننده مدل اینورتر است

$$\begin{aligned} \frac{du_{ac}}{dt} &= -\frac{1}{R_L C_{ac}} \frac{du_{ac}}{dt} - \frac{1}{L_{ac} C_{ac}} u_{ac} + \frac{2D-1}{L_{ac} C_{ac}} u_{dc} + \\ &\quad d(t) + g(t) \end{aligned} \quad (10)$$

۳- طراحی الگوریتم اندازه گام متغیر مبتنی بر INC برای ردیابی نقطه حداقل توان

سیستم‌های فتوولتائیک به دلیل ویژگی ذاتی شان، بازدهی پایینی دارند و باید همیشه در نقطه حداقل توان خروجی کار کنند [۲۷] و [۲۸]. بر اساس نمودار جریان- ولتاژ (I-V) و نمودار توان- ولتاژ (P-V)، دمای بالاتر منجر به نقطه حداقل توان کمتری می‌شود؛ در حالی که تابش خورشیدی بالاتر منجر به نقطه حداقل توان بیشتری خواهد شد.

الگوریتم‌های مرسوم ردیابی نقطه حداقل توان به دلیل سادگی شان کاربردی هستند و در این مقاله از الگوریتم INC با گام متغیر [۲۹] برای ردیابی نقطه حداقل توان تحت شرایط جوی مختلف و تغییر پارامترها به شرح زیر بهره گرفته شده است

$$\begin{cases} \frac{dP}{dV} = 0, & \text{in MPP} \\ \frac{dP}{dV} > 0, & \text{in left side of MPP} \\ \frac{dP}{dV} < 0, & \text{in right side of MPP} \end{cases} \quad (11)$$

۲- توصیف مدل سیستم فتوولتائیک

شکل ۱ دیاگرام روش کنترلی پیشنهادی روی سیستم فتوولتائیک را نشان می‌دهد که به طور عمده شامل یک مازل فتوولتائیک، یک مبدل KCL و یک اینورتر DC-AC است. بر اساس قوانین KVL و

می‌توان نتایج زیر را استخراج کرد:

زمانی که S_1 و S_4 روشن باشند

$$\begin{cases} C_{ac} \frac{du_{ac}}{dt} + \frac{1}{R_L} u_{ac} - i_{ac} = 0 \\ L_{ac} \frac{di_{ac}}{dt} - u_{dc} + u_{ac} = 0 \end{cases} \quad (1)$$

$$\begin{cases} C_{ac} \frac{du_{ac}}{dt} + \frac{1}{R_L} u_{ac} - i_{ac} = 0 \\ L_{ac} \frac{di_{ac}}{dt} + u_{dc} + u_{ac} = 0 \end{cases} \quad (2)$$

که D دیوتی سایکل S_1 و S_4 است، سپس دیوتی سایکل S_2 و S_3 برابر است با $-D$. از ترکیب (۱) و (۲)، (۳) و (۴) حاصل خواهد شد

$$L_{ac} \frac{di_{ac}}{dt} = (2D-1)u_{dc} - u_{ac} \quad (3)$$

$$C_{ac} \frac{du_{ac}}{dt} = i_{ac} - \frac{1}{R_L} u_{ac} \quad (4)$$

که با مشتقه گیری از (۴)، (۵) به دست می‌آید

$$\frac{du_{ac}}{dt} = \frac{1}{C_{ac}} \frac{di_{ac}}{dt} - \frac{1}{R_L C_{ac}} \frac{du_{ac}}{dt} \quad (5)$$

با جایگذاری (۳) در (۵) حاصل می‌شود

$$\frac{du_{ac}}{dt} = -\frac{1}{R_L C_{ac}} \frac{du_{ac}}{dt} - \frac{1}{L_{ac} C_{ac}} u_{ac} + \frac{2D-1}{L_{ac} C_{ac}} u_{dc} \quad (6)$$

که اگر غیرخطی‌های سیستم در (۶) اعمال شوند، آنگاه این معادله به صورت (۷) به دست می‌آید

پس به طور کلی رؤیتگر اغتشاش به صورت زیر طراحی می‌شود

$$\begin{cases} \dot{z} = r\left(\frac{1}{R_L C_{ac}} \dot{u}_{ac} + \frac{1}{L_{ac} C_{ac}} u_{ac} - \frac{2D-1}{L_{ac} C_{ac}} u_{dc} - \hat{d}\right) \\ \hat{d} = z + r \dot{u}_{ac} \end{cases} \quad (17)$$

همان طور که در (۱۷) مشاهده می‌شود، رؤیتگر اغتشاش ارائه شده در این مقاله دیگر به اطلاعات مشتق دوم ولتاژ AC نیازی ندارد و این به معنای کاربردی بودن طراحی پیشنهادی است.

۴-۲ طراحی کنترل مد لغزشی مبتنی بر رؤیتگر اغتشاش

در این قسمت از مقاله به طراحی کنترل مد لغزشی برای سیستم‌های فتوولتائیک پرداخته می‌شود. از مزایای کنترل مد لغزشی می‌توان به مقاومت آن در برابر اغتشاشات و نامعینی‌های پارامتری سیستم و طراحی و پیداگاهی ساده آن در کاربردهای عملی اشاره کرد [۳۱].

ابتدا خطای رديابی به عنوان اختلاف بین ولتاژ خروجی اینورتر و ولتاژ مرجع به صورت $e = u_{ac} - u_{ref}$ تعریف می‌شود. اگر c یک ثابت مثبت باشد، آنگاه سطح لغزش مرتبه صحیح مرسوم به صورت (۱۸) است

$$s = ce + \dot{e} \quad (18)$$

که در آن c یک عدد ثابت مثبت، e خطای رديابی ولتاژ و \dot{e} مشتق خطای رديابی است. سپس قانون کنترل به صورت (۱۹) خواهد بود که در آن، قانون کنترل سوئیچینگ (کلیدزنی) به صورت $-\eta \text{sign}(s) - ks$ انتخاب شده که علاوه بر کلیدزنی در هنگام تغییر علامت سطح لغزش با استفاده از بخش $-ks$ ، پایداری بیشتر سیستم حلقه بسته را نیز در پی خواهد داشت

$$D = \frac{1}{2} \left[1 + \frac{L_{ac} C_{ac}}{u_{dc}} (-\eta \text{sign}(s) - ks - \hat{d} - c\dot{e} + \frac{1}{R_L C_{ac}} \dot{u}_{ac} + \frac{1}{L_{ac} C_{ac}} u_{ac} + \ddot{u}_{ref}) \right] \quad (19)$$

که در آن k یک عدد ثابت مثبت و \hat{d} مقدار رؤیت شده اغتشاشات است که توسط رؤیتگر اغتشاش محاسبه می‌شود. η حد بالای اختلاف خطای رؤیت \tilde{d} و نامعینی g است و برای هر عدد مثبت کوچک ϵ^* به صورت (۲۰) در نظر گرفته می‌شود

$$\eta - |\tilde{d} - g| > \epsilon^* \quad (20)$$

خطای رؤیتگر نیز به صورت (۲۱) تعریف می‌شود

$$\tilde{d} = d - \hat{d} \quad (21)$$

اگر از (۱۸) مشتق گرفته شود، آنگاه $\dot{\tilde{d}}$ به صورت (۲۲) خواهد بود

$$\dot{\tilde{d}} = c\dot{e} + \ddot{e} = c\dot{e} + \ddot{u}_{ac} - \ddot{u}_{ref} = c\dot{e} - \ddot{u}_{ref} - \frac{1}{R_L C_{ac}} \dot{u}_{ac} - \frac{1}{L_{ac} C_{ac}} u_{ac} + \frac{2D-1}{L_{ac} C_{ac}} u_{dc} + d \quad (22)$$

که با جایگذاری (۱۹) در آن، $\dot{\tilde{d}}$ به صورت (۲۳) ساده می‌شود

$$\dot{\tilde{d}} = \tilde{d} - ks - \eta \text{sign}(s) \quad (23)$$

حال یک سطح لغزش مرتبه کسری به صورت (۲۴) پیشنهاد می‌شود. در این سطح لغزش به جای استفاده از مشتق مرتبه صحیح خطای از مشتق مرتبه کسری خطا استفاده شده است. استفاده از مشتق مرتبه کسری باعث افزودن درجه آزادی بیشتر به کنترل کننده می‌شود. همچنین مشتقات مرتبه کسری برخلاف مشتقات مرتبه صحیح دارای حافظه بلندمدت

با توجه به این که توان خروجی از رابطه $P = VI$ به دست می‌آید، پس (۱۱) به صورت (۱۲) نتیجه می‌دهد

$$\begin{cases} \frac{dP}{dV} = \frac{d(VI)}{dV} = I + V \frac{dI}{dV} \\ \frac{dP}{dV} = \cdot \Rightarrow \frac{dI}{dV} \approx \frac{\Delta I}{\Delta V} = -\frac{I}{V} \end{cases} \quad (12)$$

که $\Delta I / \Delta V$ بیانگر رسانایی افزایشی و I/V بیانگر رسانایی لحظه‌ای است. نقطه حداقل توان را می‌توان از طریق مقایسه I/V با $\Delta I / \Delta V$ از طریق (۱۳) پیدا کرد

$$\begin{cases} \frac{\Delta I}{\Delta V} = -\frac{I}{V}, \text{ in MPP} \\ \frac{\Delta I}{\Delta V} > -\frac{I}{V}, \text{ in left side of MPP} \\ \frac{\Delta I}{\Delta V} < -\frac{I}{V}, \text{ in right side of MPP} \end{cases} \quad (13)$$

ورودی‌های کنترل کننده برای دیابی نقطه حداقل توان ولتاژ و جریان آرایه فتوولتائیک هستند؛ در حالی که خروجی آن ولتاژ مرجع مورد استفاده برای مدولاسیون پهنه‌ای پالس فضای برداری^(۱) (SVPWM) در کنترل مبدل DC-DC متصل به آرایه فتوولتائیک است [۳۰].

۴-۳ طراحی کنترل کننده مد لغزشی فازی مبتنی بر رؤیتگر اغتشاش و استفاده از تخمینگر شبکه عصبی

۴-۱ طراحی رؤیتگر اغتشاش برای سیستم فتوولتائیک متصل به شبکه

اینورتر DC-AC در سیستم فتوولتائیک ممکن است که تحت تأثیر اغتشاشات ناشناخته قرار گیرد. به همین دلیل برای جبران اثر نامطلوب اغتشاشات بر روی ولتاژ خروجی اینورتر فتوولتائیک، یک رؤیتگر اغتشاش برای سیستم طراحی شده است. عدم قطعیت‌های سیستم به صورت (۱۴) توصیف می‌گردد

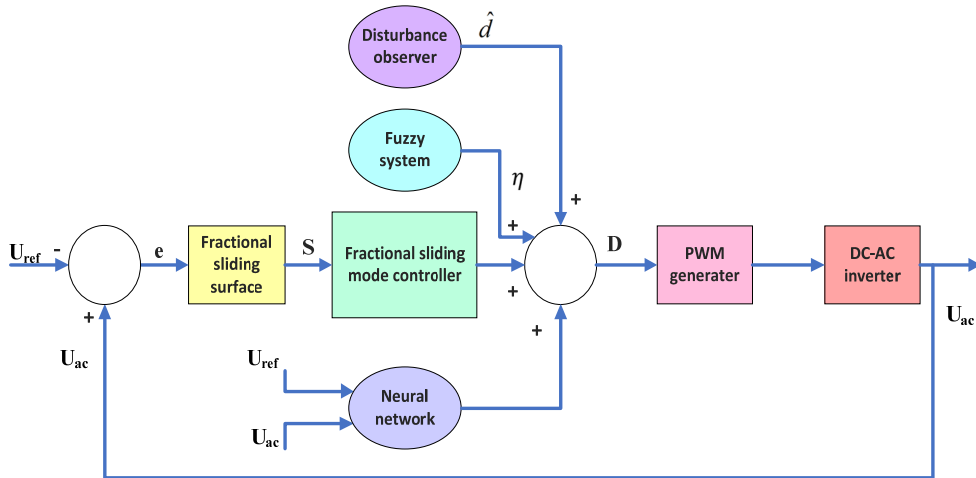
$$d = \ddot{u}_{ac} + \frac{1}{R_L C_{ac}} \dot{u}_{ac} + \frac{1}{L_{ac} C_{ac}} u_{ac} - \frac{2D-1}{L_{ac} C_{ac}} u_{dc} \quad (14)$$

با تعریف \hat{d} به عنوان خروجی رؤیتگر اغتشاش، مقدار آن از رابطه زیر محاسبه می‌شود

$$\begin{aligned} \hat{d} &= r(d - \hat{d}) = \\ &r(\ddot{u}_{ac} + \frac{1}{R_L C_{ac}} \dot{u}_{ac} + \frac{1}{L_{ac} C_{ac}} u_{ac} - \frac{2D-1}{L_{ac} C_{ac}} u_{dc} - \hat{d}) \end{aligned} \quad (15)$$

که r یک ثابت مثبت در نظر گرفته می‌شود. رابطه (۱۵) بیان کننده یک رؤیتگر است؛ ولی به اطلاعات مشتق دوم ولتاژ سمت AC احتیاج دارد که در کاربردهای عملی به دلیل سوارشدن نویز بر روی سیگنال‌ها کاری دشوار خواهد بود. بنابراین یک رؤیتگر جدید با معرفی یک متغیر ابزاری به عنوان $z = \hat{d} - r \cdot \dot{u}_{ac}$ ایجاد می‌شود که مشتق آن به صورت (۱۶) است

$$\begin{aligned} \dot{z} &= \dot{\hat{d}} - r \ddot{u}_{ac} = \\ &r(\frac{1}{R_L C_{ac}} \dot{u}_{ac} + \frac{1}{L_{ac} C_{ac}} u_{ac} - \frac{2D-1}{L_{ac} C_{ac}} u_{dc} - \hat{d}) \end{aligned} \quad (16)$$



شکل ۲: دیاگرام روش کنترل پیشنهادی برای اینورتر DC-AC.

$$\eta = \frac{\sum w_i \times \mu_i}{\sum \mu_i} = w^T \xi \quad (27)$$

که در آن η توسط منطق فازی تخمین زده می‌شود، w یک بردار قابل تنظیم است که می‌تواند بر اساس قوانین تطبیقی به روزرسانی شود و ξ یک بردار تابع فازی است و توسط (۲۸) تعریف می‌شود

$$\xi_i = \frac{\mu_i}{\sum \mu_i}, \quad i = 1, 2, 3, \dots, m \quad (28)$$

که m تعداد توابع عضویت است.

فرض ۱: مطابق اصل تقریب سراسری برای هر عدد مثبت کوچک ε و تابع پیوسته (t) ، $\eta(t)$ ، پارامتر بهینه w^* به نحوی وجود دارد که خروجی سیستم فازی، رابطه (۲۹) را ارضاء کند

$$|\eta(t) - (w^*)^T \xi| < \varepsilon^* \quad (29)$$

پارامتر w هم توسط قانون تطبیقی بیان شده در (۳۰) به روزرسانی می‌شود

$$\dot{w} = \rho \xi |s| \quad (30)$$

که در آن ρ یک ثابت مثبت، s سطح لغزش و ξ بردار پایه فازی است. با توجه به (۳۰)، پارامترهای تخمینگر شبکه عصبی شامل وزن‌ها برای دستیابی به عملکرد بهتر ثابت در نظر گرفته نشده است؛ بلکه توسط یک قانون تطبیق به دست می‌آید. در نتیجه با تغییر پارامترهای سیستم فتوولتائیک یا مبدل و اغتشاش و ...، تخمینگر شبکه عصبی می‌تواند وزن‌های خود را به صورت تطبیقی به روز نماید و این یک نقطه قوت برای این تخمینگر است. در شکل ۲ بلوک دیاگرام کنترل کننده پیشنهادی نشان داده شده است.

۴- اثبات پایداری روش پیشنهادی

\tilde{w} به عنوان خطای بین w و پارامتر بهینه w^* به صورت رابطه زیر تعریف می‌شود

$$\tilde{w} = w - w^* \quad (31)$$

یک تابع معین مثبت مطابق با رابطه زیر برای تابع لیاپانوف در نظر گرفته می‌شود

$$v = \frac{1}{2} s^2 + \frac{1}{2} \tilde{d}^2 + \frac{1}{2} \rho \tilde{w}^T \tilde{w} \quad (32)$$

اگر از تابع لیاپانوف مشتق گرفته شود، آنگاه به (۳۳) منجر خواهد شد

هستند و این موضوع باعث پایداری بیشتر سیستم خواهد شد. همچنین استفاده از مشتقات مرتبه کسری می‌تواند در کاهش پدیده چترینگ (برژش سیگنال کنترل) نیز مؤثر باشد

$$s = ce + D^\alpha e \quad (24)$$

که در آن c یک عدد ثابت مثبت، e خطای رديابی ولتاژ و α مرتبه مشتق کسری است. سپس قانون کنترل برای سطح لغزش مرتبه کسری پیشنهادی به صورت (۲۵) طراحی می‌شود

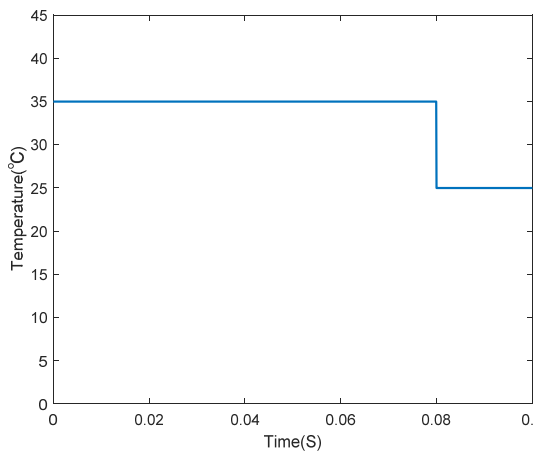
$$D = \frac{1}{2} [1 + \frac{L_{ac} C_{ac}}{U_{dc}} (-\eta \text{sign}(ce + D^\alpha e) - k D^{-\alpha+1} (ce + D^\alpha e) - \hat{d} - c D^{-\alpha+1} \dot{e} + \frac{1}{R_L C_{ac}} \dot{u}_{ac} + \frac{1}{L_{ac} C_{ac}} u_{ac} + \ddot{u}_{ref})] \quad (25)$$

۴-۳ طراحی کنترل کننده مد لغزشی مرتبه کسری فازی مبتنی بر رؤیتگر اغتشاش و تخمینگر شبکه عصبی

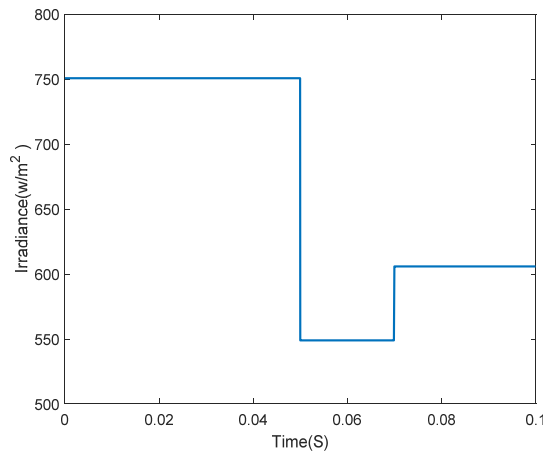
در عصر حاضر، شبکه‌های عصبی به حدی در زندگی روزمره بشر کاربرد پیدا کرده‌اند که نمی‌توان آنها را نادیده گرفت و قطعاً در آینده‌ای نزدیک، پیشرفتهای قابل توجه و چشم‌گیر خواهد داشت. در سال‌های اخیر نیز مقالات زیادی از شبکه‌های عصبی برای کنترل سیستم‌های فتوولتائیک به چاپ رسیده‌اند [۳۲] و [۳۳]. در این مقاله با استفاده از شبکه عصبی تابع پایه شعاعی، نامعینی‌های موجود در سیستم تخمین زده می‌شوند و قانون کنترل به صورت (۲۶) پیشنهاد می‌گردد

$$D = \frac{1}{2} [1 + \frac{L_{ac} C_{ac}}{U_{dc}} (-\eta \text{sign}(ce + D^\alpha e) - k D^{-\alpha+1} (ce + D^\alpha e) - \hat{d} - g - c D^{-\alpha+1} \dot{e} + \frac{1}{R_L C_{ac}} \dot{u}_{ac} + \frac{1}{L_{ac} C_{ac}} u_{ac} + \ddot{u}_{ref})] \quad (26)$$

که \hat{d} مقدار اغتشاش رؤیت شده و η حد بالای خطای رؤیتگر و نامعین است که توسط سیستم فازی تخمین زده می‌شود. همچنین k یک ثابت مثبت و g خروجی شبکه عصبی است. با استفاده از استراتژی فازی‌سازی منفرد، موتور استنتاج حاصل ضرب و دیفارزی‌سازی میانگین مراکز خروجی سیستم فازی به صورت (۲۷) ارائه خواهد شد



شکل ۴: نمودار تغییرات دمای محیط.



شکل ۵: نمودار تغییرات تابش خورشیدی.

می‌شوند. سپس سیستم فتوولتائیک تحت تغییر شرایط محیطی (تابش‌ها و دماهای مختلف) و با درنظرگرفتن سطح لغزش مرتبه صحیح و سطح لغزش مرتبه کسری، تحت شرایط تغییر بار مورد بررسی قرار می‌گیرد و در هر مرحله شاخص‌های عملکرد^۱ اندازه‌گیری می‌شوند. طبق شکل ۳ و ۴، مقدار تابش خورشیدی در ۰/۰۵ ثانیه از ۷۵۰ w/m^۲ به ۵۵۰ w/m^۲ در زمان ۰/۰۷ ثانیه از ۵۵۰ w/m^۲ به ۶۰۰ w/m^۲ تغییر می‌کند. دمای محیط نیز در زمان ۰/۰۸ ثانیه از ۳۵°C به ۲۵°C کاهش می‌یابد.

شکل‌های ۵ تا ۷ به ترتیب نمودارهای توان، ولتاژ و جریان مازول فتوولتائیک را تحت تغییرات دما و تابش نشان می‌دهند. همان‌طور که مشاهده می‌شود در لحظه ۰/۰۸ ثانیه که دما از ۳۵°C به ۲۵°C کاهش یافته و در لحظات ۰/۰۵ و ۰/۰۷ ثانیه که مقدار تابش تغییر کرده است، الگوریتم طراحی شده برای ردیابی نقطه حداقل توان، مجددًا نقطه حداقل توان را ردیگیری می‌کند. شکل ۸ سیگنال خروجی بلوک شبکه عصبی تابع پایه شعاعی را در مقایسه با نامعینی موجود در سیستم برای شرایطی که بار تغییر می‌کند، نشان می‌دهد که در آن خط نقطه‌چین قرمز بیان کننده سیگنال خروجی شبکه و خط ممتد آبی بیان کننده نامعینی موجود در سیستم است. همان‌طور که مشاهده می‌شود سیگنال خروجی شبکه عصبی تابع پایه شعاعی، توانایی خوبی در تخمین نامعینی‌ها دارد. شکل ۹ سیگنال اغتشاش را در شرایطی که بار شبکه تغییر می‌کند، در مقایسه با اغتشاش تخمین‌زده شده توسط رؤیتگر اغتشاش نشان می‌دهد که در محیط شبیه‌سازی اغتشاش رؤیت شده در قانون کنترل اعمال می‌شود تا تأثیر اغتشاشات ناخواسته را از سیستم بکاهد.

۱-۵ نتایج شبیه‌سازی برای سطح لغزش مرتبه صحیح

ولتاژ خروجی و خطای ردیابی با استفاده از کنترل کننده مد لغزشی مرتبه صحیح فازی مبتنی بر رؤیتگر اغتشاش و تخمینگر شبکه عصبی برای شرایطی که مقاومت بار در لحظه ۰/۰۶ ثانیه از ۳۰۰ اهم به ۱۵۰ اهم کاهش می‌یابد، به ترتیب در شکل‌های ۱۰ و ۱۱ نمایش داده شده‌اند. همان‌طور که در شکل ۱۰ مشاهده می‌شود خروجی اینورتر DC-AC با اعمال تغییرات ایجاد شده در مقاومت بار، قادر است ولتاژ مرجع را ردیابی کند. همچنین از منحنی خطای می‌توان دریافت که خطای ردیابی به صفر همگرا می‌شود.

شکل ۱۲ منحنی سطح لغزش مرتبه صحیح فازی مبتنی بر رؤیتگر اغتشاش و کنترل کننده مد لغزشی مرتبه صحیح می‌تواند در نظر گرفته شده باشد.

جدول ۱: پارامترهای سیستم‌ها برای شبیه‌سازی.

پارامتر	مقادیر
U_{Ref}	$220\sqrt{3}\sin(100\pi t)$
C_{ac}	$2.82 \times 10^{-9} F$
L_{ac}	$0.048 H$
L_{PV}	$3 \times 10^{-4} H$
C_{PV}	$10^{-4} F$
C_{dc}	$10^{-4} F$
C, K	$10^4, 5 \times 10^4$
R_L	300Ω
Φ	۶۰

$$\dot{v} = ss + \tilde{d}\dot{\tilde{d}} + \frac{1}{\rho}\tilde{w}^T\dot{\tilde{w}} = s(\tilde{d} - ks - \eta \text{sign}(s) - g) - \quad (33)$$

$$\tilde{d}^* + \tilde{w}^T \zeta |s| = -ks^* - \tilde{d}^* + s(\tilde{d} - g) - \eta |s| + \tilde{w}^T \zeta |s|$$

با جایگذاری قانون تطبیقی بیان شده در (۳۰)، (۳۴) به دست خواهد آمد

$$\dot{v} = -ks^* - \tilde{d}^* + s(\tilde{d} - g) - w^T \zeta |s| +$$

$$(w^* - (w^*)^T) \zeta |s| \Rightarrow \dot{v} = -ks^* - \tilde{d}^* + s(\tilde{d} - g) - \quad (34)$$

$$(w^*)^T \zeta |s| \leq -ks^* - \tilde{d}^* + |s| |\tilde{d} - g| - (\eta - \varepsilon^*) |s|$$

$$\dot{v} = -ks^* - \tilde{d}^* - [(\eta - \varepsilon^*) - |\tilde{d} - g|] |s| \quad (35)$$

برای اینکه سیستم پایدار باشد، کافی است (۳۶) برقرار شود

$$\dot{v} = -ks^* - \tilde{d}^* - (\eta - \varepsilon^* - |\tilde{d} - g|) |s| \leq 0. \quad (36)$$

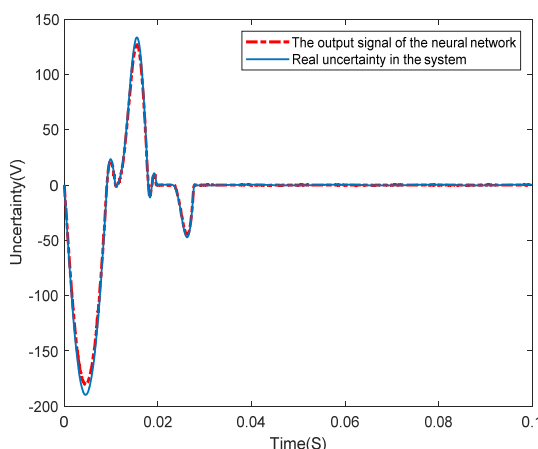
پس باید $|\tilde{d} - g| \geq \eta - \varepsilon^*$ برقرار باشد و در نتیجه، شرط پایداری به صورت (۳۷) خلاصه می‌شود

$$\eta \geq |\tilde{d} - g| + \varepsilon^* \quad (37)$$

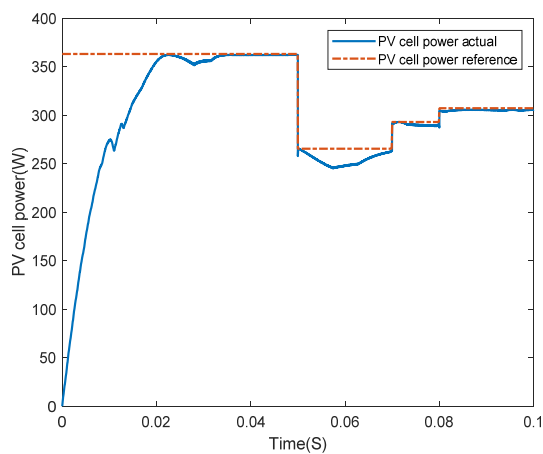
چون η حد بالای اختلاف خطای رؤیتگر و نامعینی در نظر گرفته شده بود و ε^* هم یک عدد مثبت کوچک است، پس این رابطه همواره برقرار و سیستم پایدار است.

۵- نتایج شبیه‌سازی

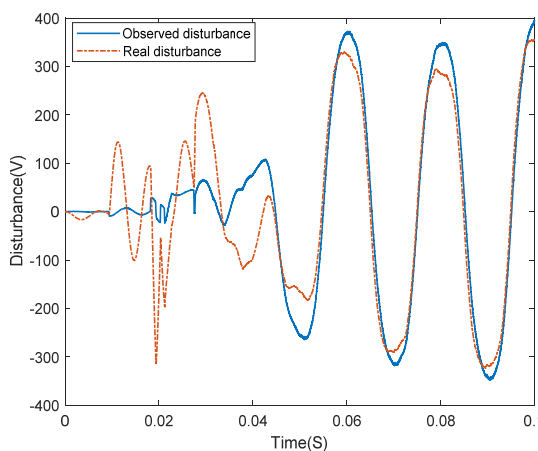
در ابتدا مقادیر پارامترهای شبیه‌سازی مطابق جدول ۱ در نظر گرفته و در محیط سیمولینک نرم‌افزار Matlab برای شبیه‌سازی به سیستم اعمال



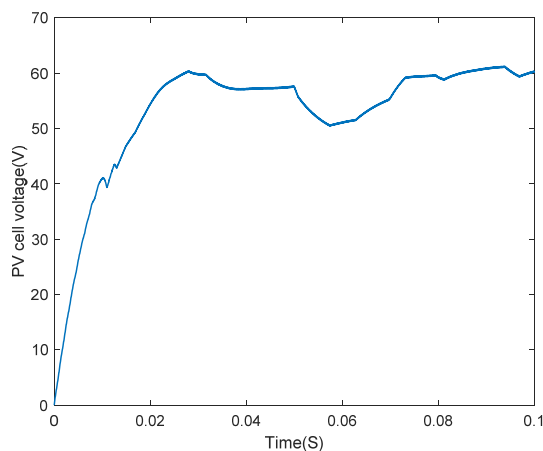
شکل ۸: مقایسه نامعینی تخمین‌زده شده توسط شبکه عصبی با نامعینی واقعی.



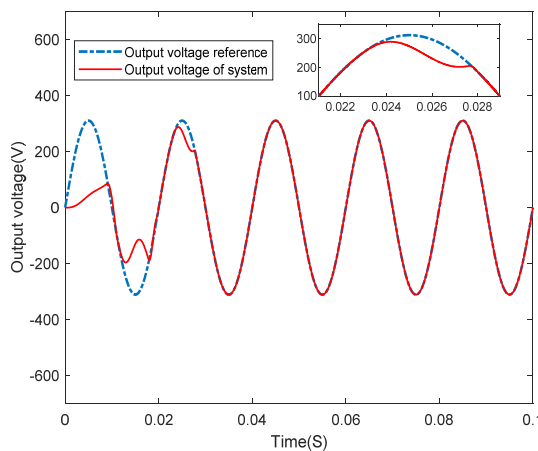
شکل ۵: نمودار توان مازول فتوولتائیک تحت تغییر شرایط جوی مختلف.



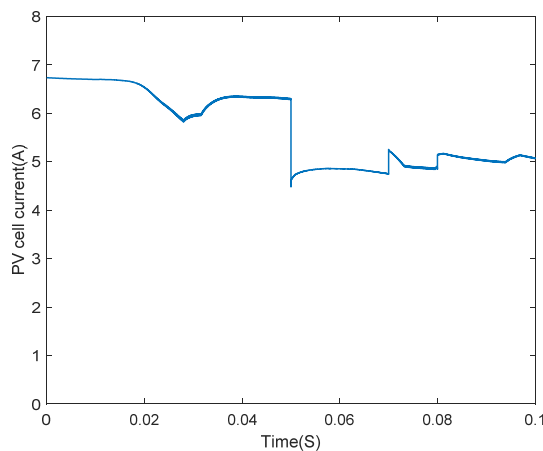
شکل ۹: مقایسه سیگنال خروجی رؤیتگر اغتشاش و اغتشاش سیستم.



شکل ۶: نمودار ولتاژ مازول فتوولتائیک تحت تغییر شرایط جوی مختلف.



شکل ۱۰: ولتاژ خروجی شبکه با اعمال تغییر در مقاومت بار برای حالت سطح لغزش مرتبه صحیح.



شکل ۷: نمودار جریان مازول فتوولتائیک تحت تغییر شرایط جوی مختلف.

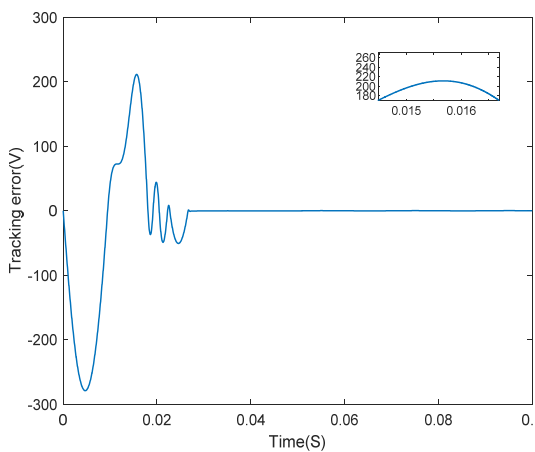
شبکه عصبی برای شرایطی که مقاومت بار در لحظه 0.06 s از $300\text{ }\Omega$ به $150\text{ }\Omega$ تغییر می‌کند به ترتیب در شکل‌های ۱۳ و ۱۴ نمایش داده شده‌اند.

مقایم‌بودن سیستم فتوولتائیک تحت شرایط مختلف، یک مسأله ضروری است؛ زیرا توان خروجی سیستم فتوولتائیک تحت شرایط جوی مختلف تغییر خواهد کرد. یک استراتژی خوب کنترلی باید توانایی تطبیق با شرایط جوی مختلف، اغتشاشات و نامعینی‌ها و تغییر بار شبکه را داشته باشد. شکل‌های ۱۳ و ۱۴ عملکرد طرح کنترلی پیشنهادی را نشان می‌دهند. همان‌طور که مشاهده می‌شود خروجی اینورتر DC-AC با

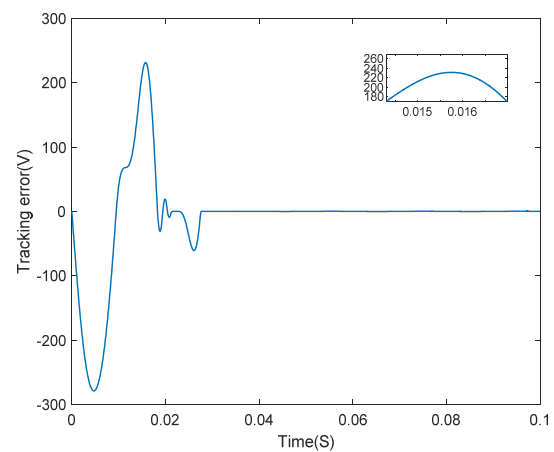
تخمینگر نامعینی با استفاده از شبکه عصبی نشان می‌دهد. همان‌طور که مشاهده می‌شود، ابتدا که در سیستم خطای قابل ملاحظه‌ای هست، نوسان سطح لغزش دامنه بزرگ‌تری دارد و بعد از گذشت مدت زمانی محدود که کنترل کننده غیرخطی پیشنهادی، خطای ریدیابی ولتاژ را کاهش می‌دهد، سطح لغزش نیز به سمت صفر میل می‌کند؛ اما دارای نوسانات کوچک (چترینگ) است.

۵-نتایج شبیه‌سازی برای سطح لغزش مرتبه کسری

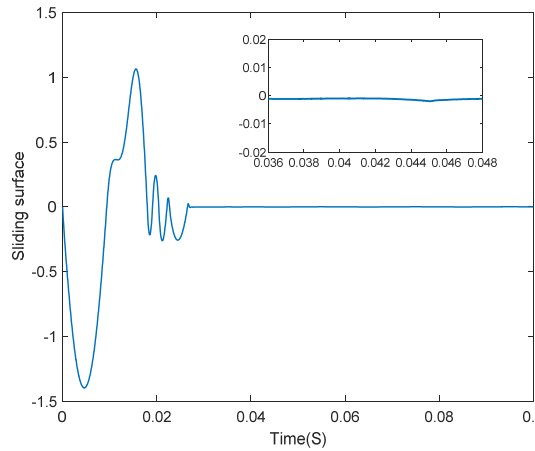
ولتاژ خروجی و خطای ریدیابی با اعمال کنترل کننده مد لغزشی مرتبه کسری فازی مبتنی بر رؤیتگر اغتشاش و تخمینگر نامعینی با استفاده از



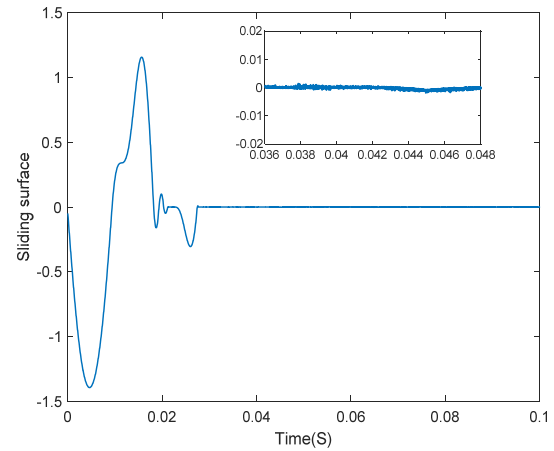
شکل ۱۴: خطای ردیابی ولتاژ با اعمال تغییر در مقاومت بار برای حالت سطح لغزش مرتبه کسری.



شکل ۱۱: خطای ردیابی ولتاژ با اعمال تغییر در بار شبکه برای حالت سطح لغزش مرتبه صحیح.



شکل ۱۵: نمودار سطح لغزش مرتبه کسری با اعمال تغییر در مقاومت بار.



شکل ۱۲: نمودار سطح لغزش مرتبه صحیح با اعمال تغییر در مقاومت بار.

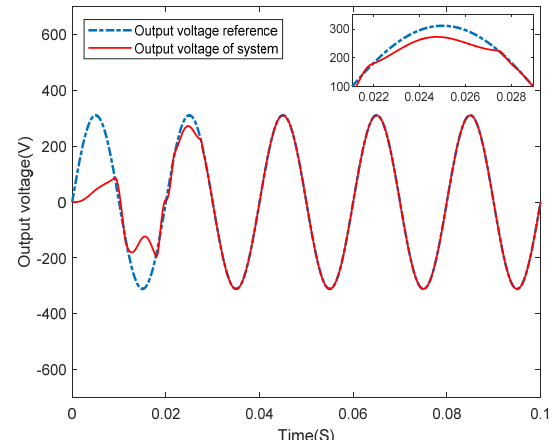
محدود که کنترل کننده غیرخطی پیشنهادی، خطای ردیابی ولتاژ را کاهش می‌دهد، سطح لغزش مرتبه کسری نیز به صفر میل می‌کند. همچنین با توجه به انتخاب سطح لغزش مرتبه کسری، منحنی سطح لغزش چترینگ (لغزش سیگنال) کمی دارد و این یک مزیت نسبت به سایر روش‌های کنترلی است.

۳-۵ مقایسه روش کنترلی پیشنهادی با سایر روش‌های کنترلی

برای بررسی عملکرد روش کنترلی پیشنهادی نسبت به سایر روش‌های کنترلی و مقایسه دقیق‌تر و کمی روش‌ها با یکدیگر، معیار شاخص عملکرد یا همان تابع هزینه در هر مرحله از شبیه‌سازی محاسبه شده است؛ به طوری که هرچه این شاخص کمتر باشد، سیستم کنترلی بهتر خواهد بود. انتگرال قدرمطلق خطای^(۱) (IAE)، انتگرال زمان ضربدر قدرمطلق خطای^(۲) (ITAE) و انتگرال مربع خطای^(۳) (ISE) نمونه‌هایی از شاخص‌های عملکرد هستند که به ترتیب در (۳۸) تا (۴۰) معرفی شده‌اند.

$$IAE = \int |e(t)| dt \quad (38)$$

$$ITAE = \int t |e(t)| dt \quad (39)$$



شکل ۱۳: ولتاژ خروجی با اعمال تغییر در مقاومت بار برای حالت سطح لغزش مرتبه کسری.

اعمال تغییرات ایجادشده در مقاومت بار، قادر است ولتاژ مرجع را در مدت کوتاهی ردیابی کند. همچنین از منحنی خطای می‌توان دریافت که خطای ردیابی در زمان محدودی به صفر همگرا می‌شود.

شکل ۱۵ منحنی سطح لغزش مرتبه کسری را بعد از پیاده‌سازی روش کنترلی مد لغزشی مرتبه کسری فازی مبتنی بر رؤیتگر اختشاش و تخمینگر نامعینی با استفاده از شبکه عصبی نشان می‌دهد. همان‌طور که مشاهده می‌شود، ابتدا که در سیستم خطای قابل ملاحظه‌ای وجود دارد، نوسان سطح لغزش دامنه بزرگ‌تری دارد و بعد از گذشت مدت زمانی

1. Integral of the Absolute Magnitude of Error
2. Integral of Time Multiplied by Absolute Error
3. Integral of Square of Error

جدول ۳: مقایسه نتایج برای حالت تعییر مقاومت بار و تغییر خازن.

مرتبه کسری	مرتبه صحیح	
$IAE = 2,9935$	$IAE = 3,0798$	بدون اعمال کنترل کننده
$ITAE = 0,0294$	$ITAE = 0,0312$	فازی و عصبی
$ISE = 537,6916$	$ISE = 527,8004$	
$IAE = 2,9725$	$IAE = 3,0353$	
$ITAE = 0,0289$	$ITAE = 0,0303$	با اعمال کنترل کننده فازی
$ISE = 534,4606$	$ISE = 565,3834$	
$IAE = 2,9659$	$IAE = 2,9726$	
$ITAE = 0,0289$	$ITAE = 0,0288$	با اعمال کنترل کننده
$ISE = 532,1292$	$ISE = 557,1589$	فازی و عصبی

متن نهایی قبل از چاپ مقاله کمال تشکر و قدردانی را دارند.

مراجع

- [1] M. M. Farag, *et al.*, "An optimized fractional nonlinear synergic controller for maximum power point tracking of photovoltaic array under abrupt irradiance change," *IEEE J. of Photovoltaics*, vol. 13, no. 2, pp. 305-314, Mar. 2023.
- [2] ح. ایجادی و ا. حاجیزاده, "ردیابی حداقل توان در سیستم تولید توان خورشیدی بر پایه تقریبگر فازی تابع ولتاژ نقطه کار با شدت تابش", "هوش محاسباتی در مهندسی برق", جلد ۳، شماره ۲، صص. ۷۳-۸۶، شهريور ۱۳۹۱.
- [3] م. صوفی و ع. حاتمی, "ارائه روش جدید کنترلی مبتنی بر مد لغزشی برای ردیابی نقطه حداقل توان تولیدی مولدهای فتوولتائیک", "هوش محاسباتی در مهندسی برق", جلد ۱۰، شماره ۴، صص. ۱۱-۱۴، دی ۱۳۹۸.
- [4] J. Ahmed and Z. Salam, "An improved perturb and observe (P&O) maximum power point tracking (MPPT) algorithm for higher efficiency," *Applied Energy*, vol. 150, pp. 97-108, 15 Jul. 2015.
- [5] F. Liu, S. Duan, F. Liu, B. Liu, and Y. Kang, "A variable step size INC MPPT method for PV systems," *IEEE Trans. on Industrial Electronics*, vol. 55, no. 7, pp. 2622-2628, Jul. 2008.
- [6] H. Delavari and M. Zolfi, "Maximum power point tracking in photovoltaic systems using indirect adaptive fuzzy robust controller," *Soft Computing*, vol. 25, no. 16, pp. 10969-10985, Aug. 2011.
- [7] س. عظیمی سردری، ب. میرزایان دهکردی و م. نیرومندی, "ارائه روش هدایت افزایشی با گام تطبیقی بر مبنای کنترل کننده عاطفی در دنبال کننده های بیشینه توان سلول های خورشیدی", "نشریه مهندسی برق و مهندسی کامپیوتر ایران، الف- مهندسی برق", جلد ۱۵، شماره ۳، صص. ۱۱۴-۱۲۰، تابستان ۱۳۹۶.
- [8] R. Ebead, B. Abo-Zalam, and E. Nabil, "System identification of photovoltaic system based on fractional-order model," *J. Comput. Electron.*, vol. 22, pp. 471-484, 2023.
- [9] P. Shah and S. Agashe, "Review of fractional PID controller, Mechatronics," *Mechatronics*, vol. 38, pp. 29-41, Sept. 2016.
- [10] S. Tang, *et al.*, "An enhanced MPPT method combining fractional-order and fuzzy logic control," *IEEE J. of Photovoltaics*, vol. 7, no. 2, pp. 640-650, Mar. 2017.
- [11] B. Yang, T. Yu, *et al.*, "Perturbation observer based fractional-order sliding-mode controller for MPPT of grid-connected PV inverters: design and real-time implementation," *Control Engineering Practice*, vol. 79, pp. 105-125, Oct. 2018.
- [12] J. E. Slotine and W. Li, *Applied Nonlinear Control*, Englewood Cliffs NJ: Prentice Hall, 1991.
- [13] ه دلاوری و م. محمدزاده, "کنترل آشوب در سیستم انتقال چرخندۀ با استفاده از روش کنترل مود لغزشی ترمیثال تطبیقی جدید با عامل غیرخطی در ورودی کنترلی", "مجله کنترل", جلد ۱۰، شماره ۴، صص. ۴۵-۵۳، زمستان ۱۳۹۵.
- [14] S. Das, *Kindergarten of Fractional Calculus*, Cambridge Scholars Publishing, 2020.
- [15] H. Delavari and S. Naderian, "Backstepping fractional terminal sliding mode voltage control of an islanded microgrid," in *Proc. 5th Int. Conf. on Control, Instrumentation, and Automation, ICCIA'17*, pp. 167-172, Shiraz, Iran, 21-23 Nov. 2017.

جدول ۲: مقایسه نتایج در حالت تعییر مقاومت بار.

مرتبه کسری	مرتبه صحیح	
$IAE = 2,9933$	$IAE = 3,0791$	بدون اعمال کنترل کننده
$ITAE = 0,0294$	$ITAE = 0,0312$	فازی و عصبی
$ISE = 537,6914$	$ISE = 572,8001$	
$IAE = 2,9723$	$IAE = 3,0348$	
$ITAE = 0,0289$	$ITAE = 0,0302$	با اعمال کنترل کننده فازی
$ISE = 534,4604$	$ISE = 565,3832$	
$IAE = 2,9657$	$IAE = 2,9724$	
$ITAE = 0,0289$	$ITAE = 0,0288$	با اعمال کنترل کننده
$ISE = 532,1290$	$ISE = 557,1581$	فازی و عصبی

$$ISE = \int e(t)^2 dt \quad (40)$$

که $e(t)$ بیانگر خطای ردیابی ولتاژ است.

در جدول ۲ نتایج برای حالتی که مقاومت شبکه در لحظه ۰/۰۶ ثانیه از ۳۰۰ اهم به ۱۵۰ اهم تعییر می کند، آورده شده است. $IAE = 2,9933$ همچنین با تعییر مقاومت شبکه در لحظه ۰/۰۶ ثانیه از ۳۰۰ اهم به ۱۵۰ اهم و تعییر خازن فیلتر خروجی سیستم فتوولتائیک در لحظه ۰/۰۳ ثانیه از ۲/۸۲ $\times 10^{-5} F$ به $2,32 \times 10^{-5} F$, نتایج به صورت جدول ۳ خواهد بود. همان طور که از جداول مذکور برداشت می شود، توابع هزینه کنترل کننده مرتبه کسری نسبت به کنترل کننده مرتبه صحیح مقادیر کمتری دارند. همچنین در مراحلی که هر دو کنترل کننده فازی و شبکه عصبی به سیستم اضافه شده اند مقادیر خطای کمتر شده و بهترین عملکرد مربوط به کنترل کننده مد لغزشی مرتبه کسری فازی و تخمینگر شبکه عصبی است که روش کنترلی پیشنهادی این مقاله می باشد.

۶- نتیجه گیری و جمع بندی

در این مقاله، کنترل کننده مد لغزشی مرتبه کسری فازی مبتنی بر رؤیتگر اغتشاش و تخمینگر نامعینی با استفاده از شبکه عصبی بر روی اینورتر سیستم فتوولتائیک اعمال گردید. در مرحله اول، یک سطح لغزش مرتبه کسری برای سیستم فتوولتائیک در نظر گرفته شد تا مقاومت سیستم نسبت به اغتشاشات و نامعینی ها افزایش یابد. سپس یک رؤیتگر اغتشاش برای تخمین اغتشاشات سیستم طراحی گردید. ثابت بودن ضریب تابع علامت در قانون کنترل، چتربینگ (لرزش سیگنال) را افزایش می دهد و به همین دلیل، یک کنترل کننده فازی برای تعیین برش ضریب تابع علامت در نظر گرفته شد. همچنین یک شبکه عصبی تابع پایه شعاعی برای تخمین نامعینی های طراحی گردید. نتایج شبیه سازی نشان دادند که با اعمال روش پیشنهادی روی سیستم فتوولتائیک، هنگامی که شرایط محیطی (دما و تابش) یا پارامترهای سیستم (مقاومت بار یا ظرفیت خازن) تعییر می کند، اینورتر همچنان ولتاژ خروجی را ردیابی می نماید و سطح لغزش در زمانی محدود و بدون لرزش سیگنال به سمت صفر می می کند؛ در نتیجه سیستم کنترلی پایدار باقی می ماند. نتایج شبیه سازی انجام شده بیانگر این است که روش پیشنهادی در حضور غیرخطی های سیستم، مقاومت خوبی از خود نشان می دهد و شاخص های عملکرد (تابع هزینه)، برتری روش کنترلی پیشنهادی را نسبت به سایر روش های کنترلی تأیید می کنند.

۷- تشکر و قدردانی

بدین وسیله نویسندها مقاله از زحمات آقای امیر ویسی در ویرایش

- [27] E. Kandemir, N. S. Cetin, and S. Borekci, "A comprehensive overview of maximum power extraction methods for PV systems," *Renewable and Sustainable Energy Reviews*, vol. 78, pp. 93-112, Oct. 2017.
- [28] M. Al-Dhaifallah, A. M. Nassef, H. Rezk, and K. S. Nisar, "Optimal parameter design of fractional order control based INC-MPPT for PV system," *Solar Energy*, vol. 159, pp. 650-664, Jan. 2018.
- [29] G. Li and H. A. Wang, "A novel stand-alone PV generation system based on variable step size INC MPPT and SVPWM control," in *Proc. IEEE 6th Int. Power Electronics and Motion Control Conf.*, pp. 2155-2160, Wuhan, China, 17-20 May 2009.
- [30] L. Dong and S. K. Nguang, *Consensus Tracking of Multi-Agent Systems with Switching Topologies*, Elsevier Science, Academic Press, 2020.
- [31] L. Bouselham, M. Hajji, B. Hajji, and H. Bouali, "A new MPPT-based ANN for photovoltaic system under partial shading conditions," *Energy Procedia*, vol. 111, pp. 924-933, Mar. 2017.
- [32] M. Ding, L. Wang, and R. Bi, "An ANN-based approach for forecasting the power output of photovoltaic system," *Procedia Environmental Sciences*, vol. 11, pt. C, pp. 1308-1315, 2011.
- [33] Y. Zhu and J. Fei, "Adaptive global fast terminal sliding mode control of grid-connected photovoltaic system using fuzzy neural network approach," *IEEE Access*, vol. 5, pp. 9476-9484, 2017.
- هادی دلاوری مدارک کارشناسی، کارشناسی ارشد و دکتری خود را بهتریب در سال‌های ۱۳۸۲ و ۱۳۸۴ و ۱۳۹۰ اخذ کرد. وی از سال ۱۳۸۷ به بعد با گروه مهندسی برق دانشگاه صنعتی همدان همکاری داشته و در این دانشگاه به عنوان عضو هیئت علمی دانشیار مشغول به همکاری است. وی در حال حاضر عضو ارشد IEEE است و بیش از ۱۵۰ مقاله در مجلات و کنفرانس‌های معتبر داخلی و بین‌المللی و ۷ فصل کتاب و یک کتاب تصنیفی منتشر کرده است. تحقیقات او بر حوزه‌های مختلفی از جمله هوش مصنوعی، نظریه کنترل غیرخطی و کاربردهای عملی آن، کنترل مرتبه کسری، سیستم‌های انرژی تجدیدپذیر، رباتیک و ... متمرکز است.
- سارا ارجمندیبور مقطع کارشناسی خود را در گرایش کنترل دانشگاه صنعتی همدان به پایان رساند و همچنین در مقطع کارشناسی ارشد کنترل، دانشجوی دانشگاه صنعتی همدان است. زمینه‌های علاقه‌مندی ایشان کنترل غیرخطی، سیستم‌های فتوولتائیک و منطق فازی و شبکه‌های عصبی است.
- [16] ه. دلاوری و ز. روشنزار حیدری، "طراحی کنترل کننده مد لغزشی ترمیمال تطبیقی مرتبه کسری برای ریدیابی نقطه حداقل توان در یک سلول خورشیدی تحت شرایط عادی و شرایط سایه جزئی،" *سامانه‌های غیرخطی در مهندسی برق، جلد ۵ شماره ۲، ۴-۲۲، پاییز و زمستان ۱۳۹۷*.
- [17] H. Delavari and S. Naderian, "Design and HIL implementation of a new robust fractional sliding mode control of microgrids," *IET Gener. Transm. Distrib.*, vol. 14, no. 26, pp. 6690-6702, Dec. 2020.
- [18] C. Yuan, J. Xia, F. Huang, P. Zhao, and L. Kong, "A novel hermite interpolation-based MPPT technique for photovoltaic systems under partial shading conditions," *IEEE Photonics J.*, vol. 16, no. 2, Article ID: 8400110, 10 pp., Apr. 2024.
- [19] G. A. Ghazi, et al., "Dandelion optimizer-based reinforcement learning techniques for MPPT of grid-connected photovoltaic systems," *IEEE Access*, vol. 12, pp. 42932-42948, 2024.
- [20] R. Liu, Y. Zhu, and Y. Yang, "Robust design of perturb & observe maximum power point tracking for photovoltaic systems," *IEEE Trans. on Industry Applications*, vol. 60, no. 4, pp. 6547-6558, Jul./Aug. 2024.
- [21] O. Güll and N. Tan, "Application of fractional-order voltage controller in building-integrated photovoltaic and wind turbine system," *Measurement and Control*, vol. 52, no. 7-8, pp. 1145-1158, Sept./Oct. 2019.
- [22] M. Samadi and S. M. Rakhtala, "Reducing cost and size in photovoltaic systems using three-level boost converter based on fuzzy logic controller," *Iran J. Sci. Technol. Trans. Electr. Eng.*, vol. 43, pp. 313-323, 2019.
- [23] O. Saleem, S. Ali, and J. Iqbal, "Robust MPPT control of stand-alone photovoltaic systems via adaptive self-adjusting fractional order PID controller," *Energies*, vol. 16, no. 13, Article ID: 5039, 20 pp., 2023.
- [24] M. Samadi, S. M. Rakhtala, and M. Ahmadian Alashti, "Boost converter topologies, hybrid boost and new topologies of voltage multiplier in photovoltaic systems," *J. of Solar Energy Research*, vol. 4, no. 4, pp. 287-299, Autumn 2019.
- [25] A. Messai, A. Mellit, A. Guessoum, and S. A. Kalogirou, "Maximum power point tracking using a GA optimized fuzzy logic controller and its FPGA implementation," *Solar Energy*, vol. 85, no. 2, pp. 265-277, Feb. 2011.
- [26] Y. Zhu and J. Fei, "Disturbance observer based fuzzy sliding mode control of PV grid connected inverter," *IEEE Access*, vol. 6, pp. 21202-21211, 2018.